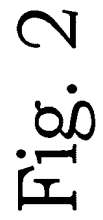


Fi. 1



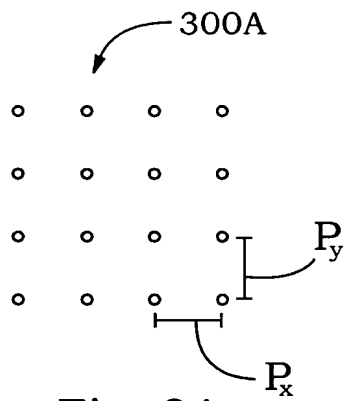


Fig. 3A

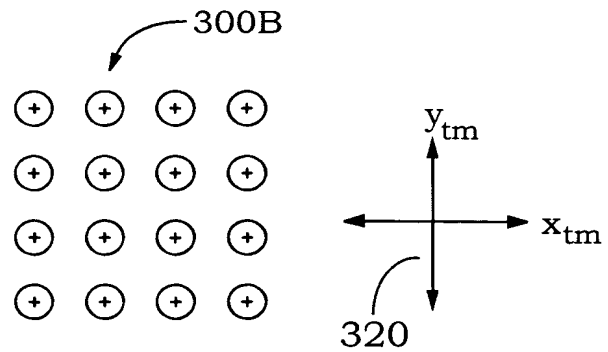


Fig. 3B

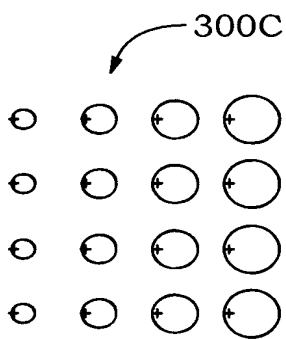


Fig. 3C

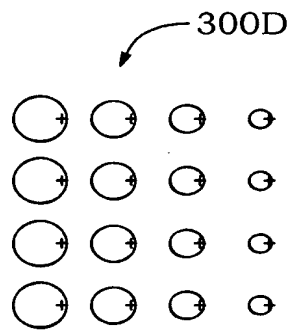


Fig. 3D

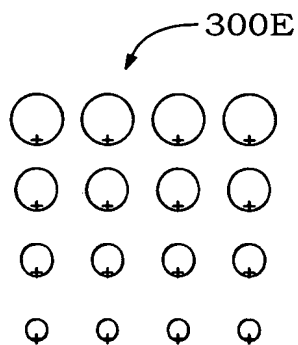


Fig. 3E

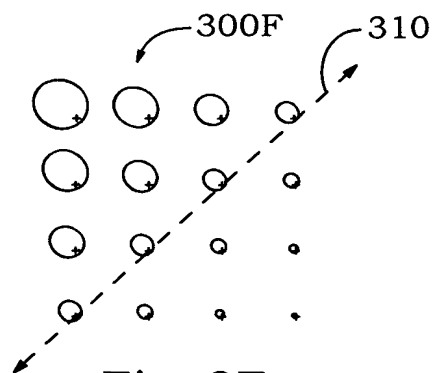


Fig. 3F

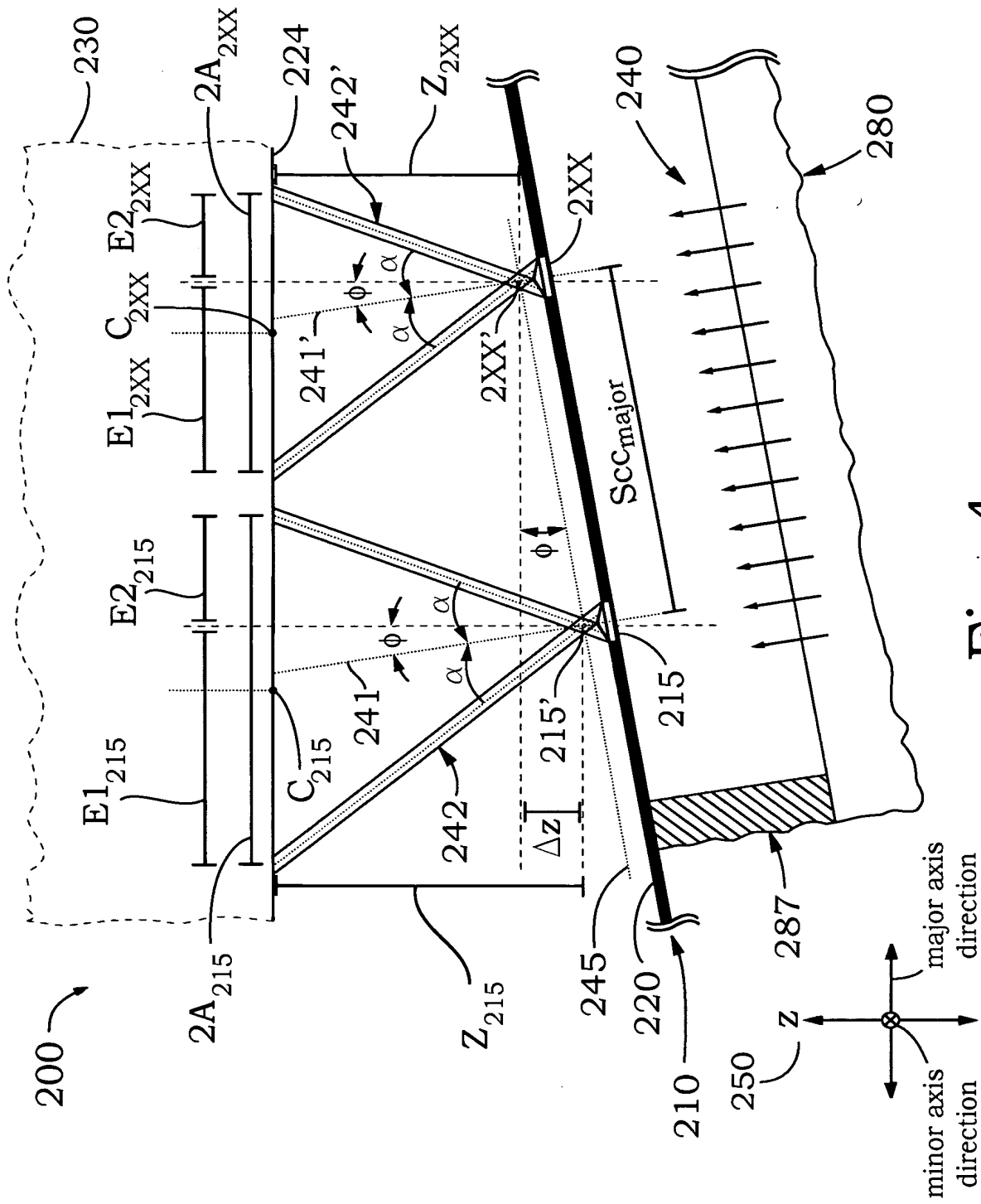


Fig. 4

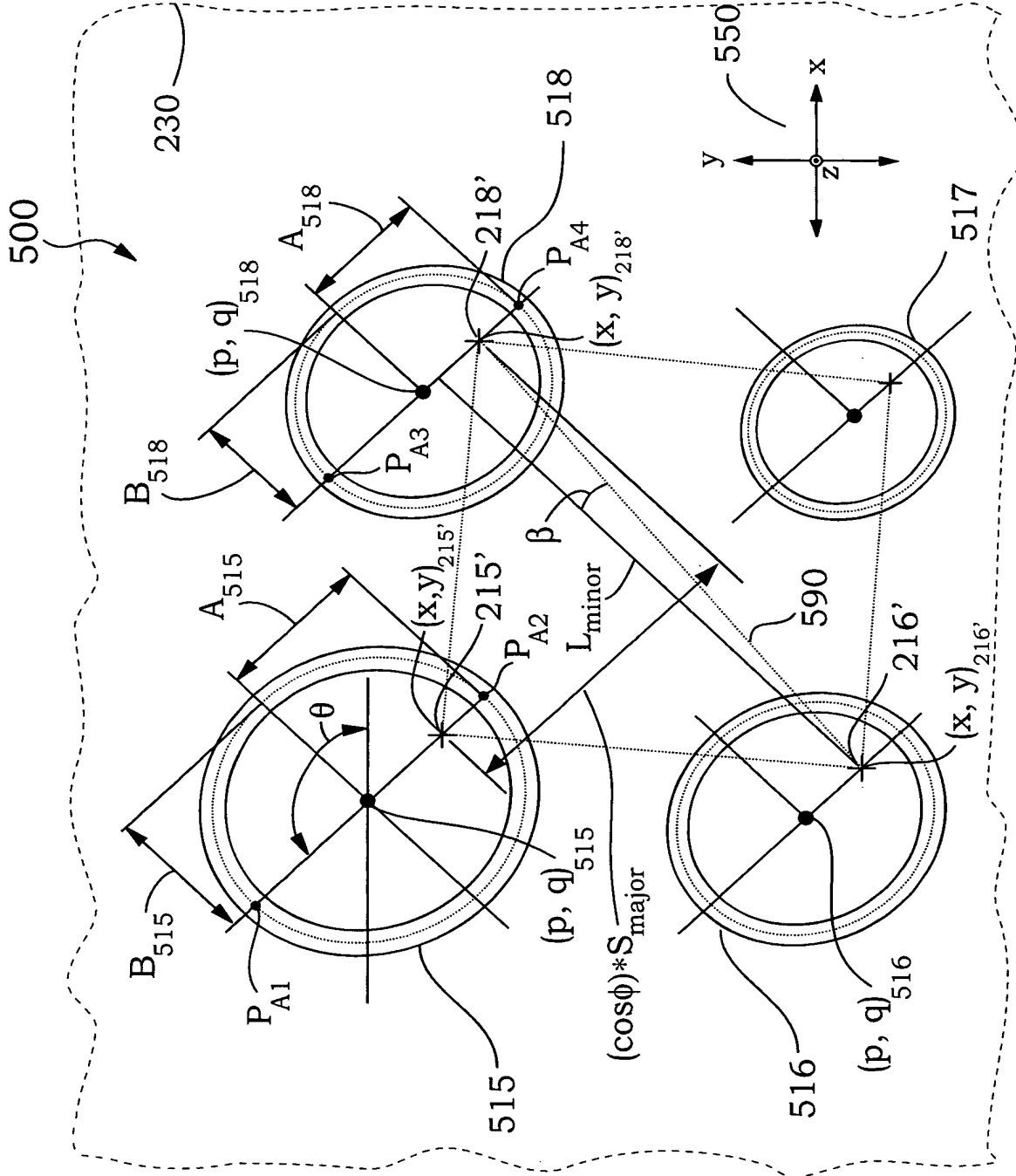


Fig. 5

Inventors: J.D. Tobiason et al.  
Docket No.: MEIP122171

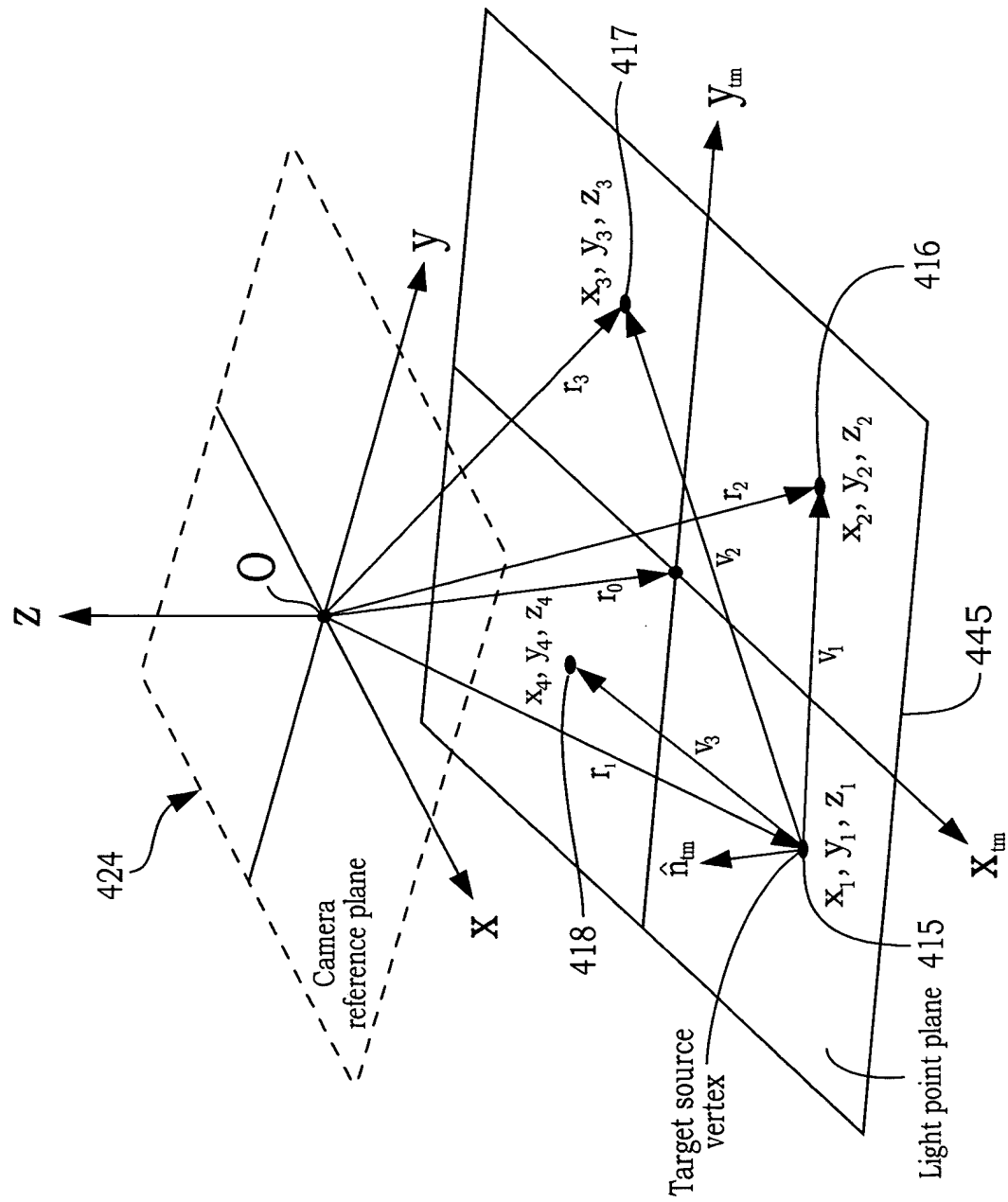


Fig. 6

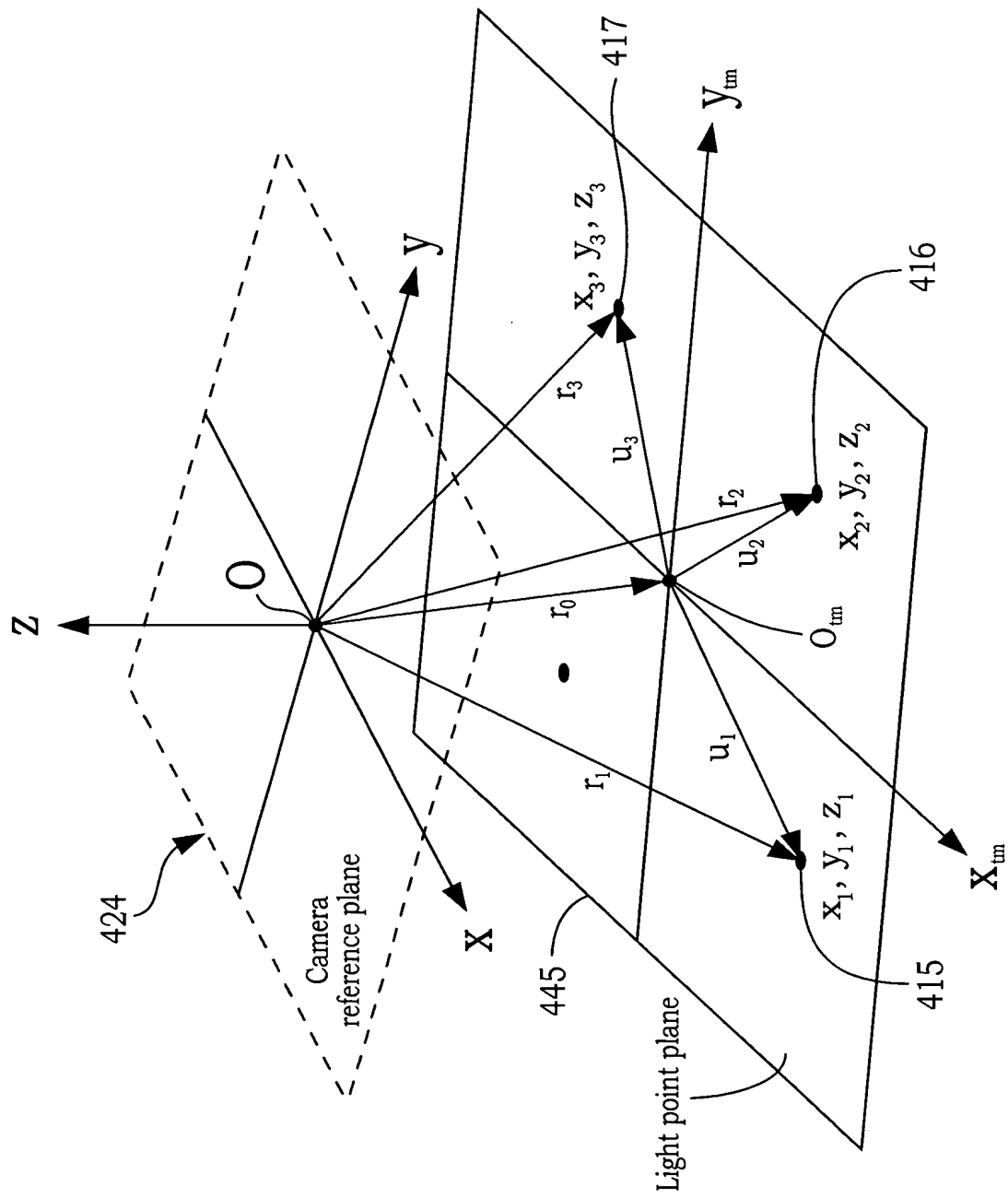


Fig. 7

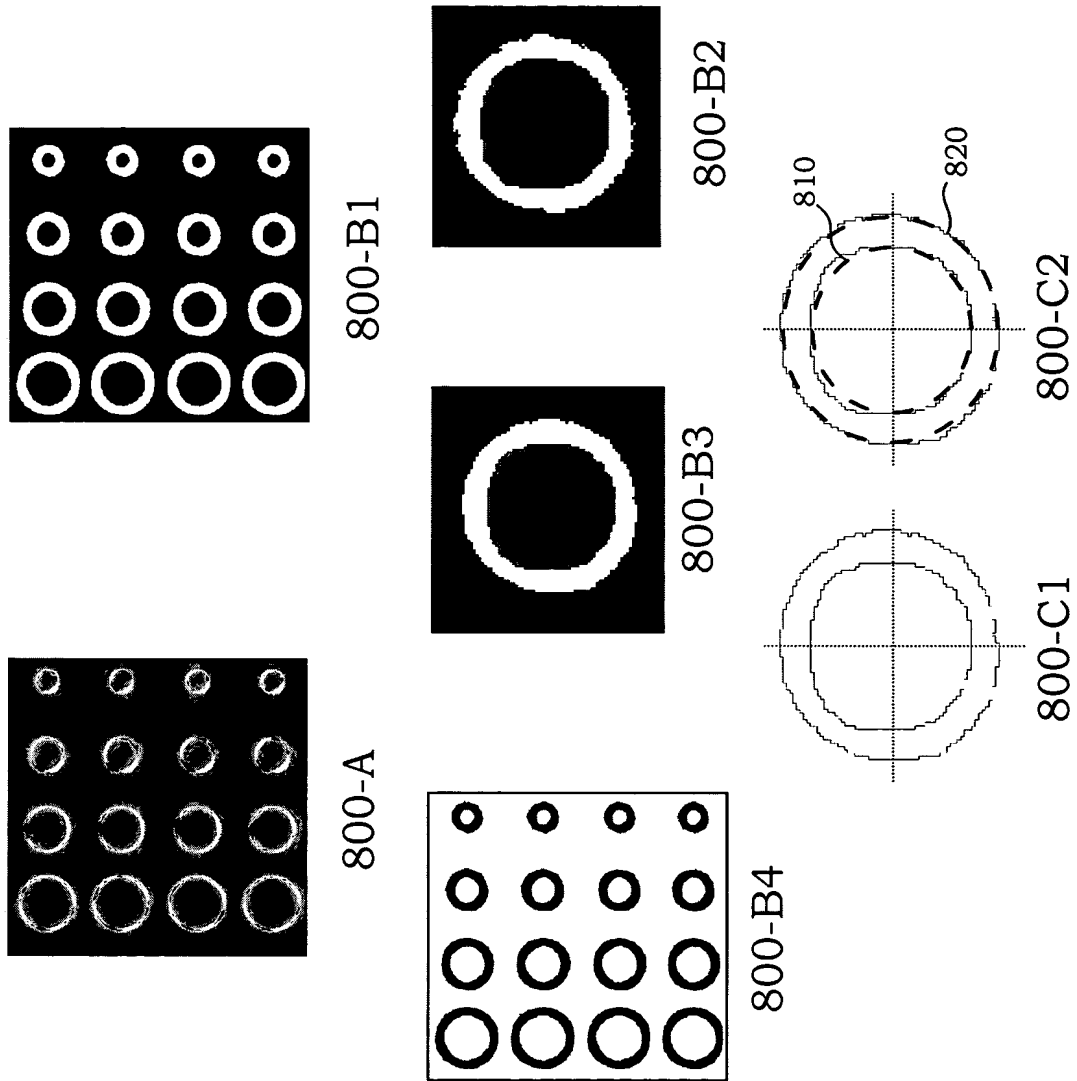


Fig. 8



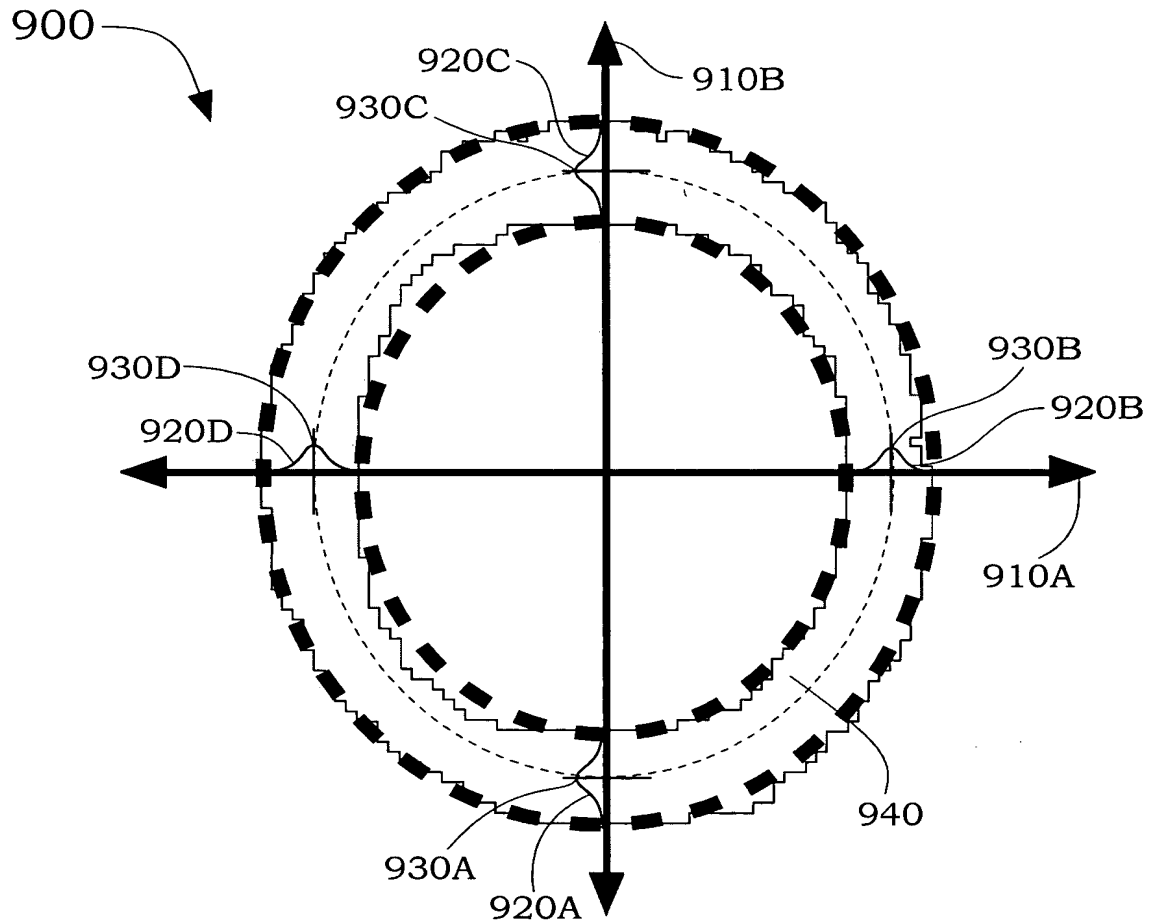
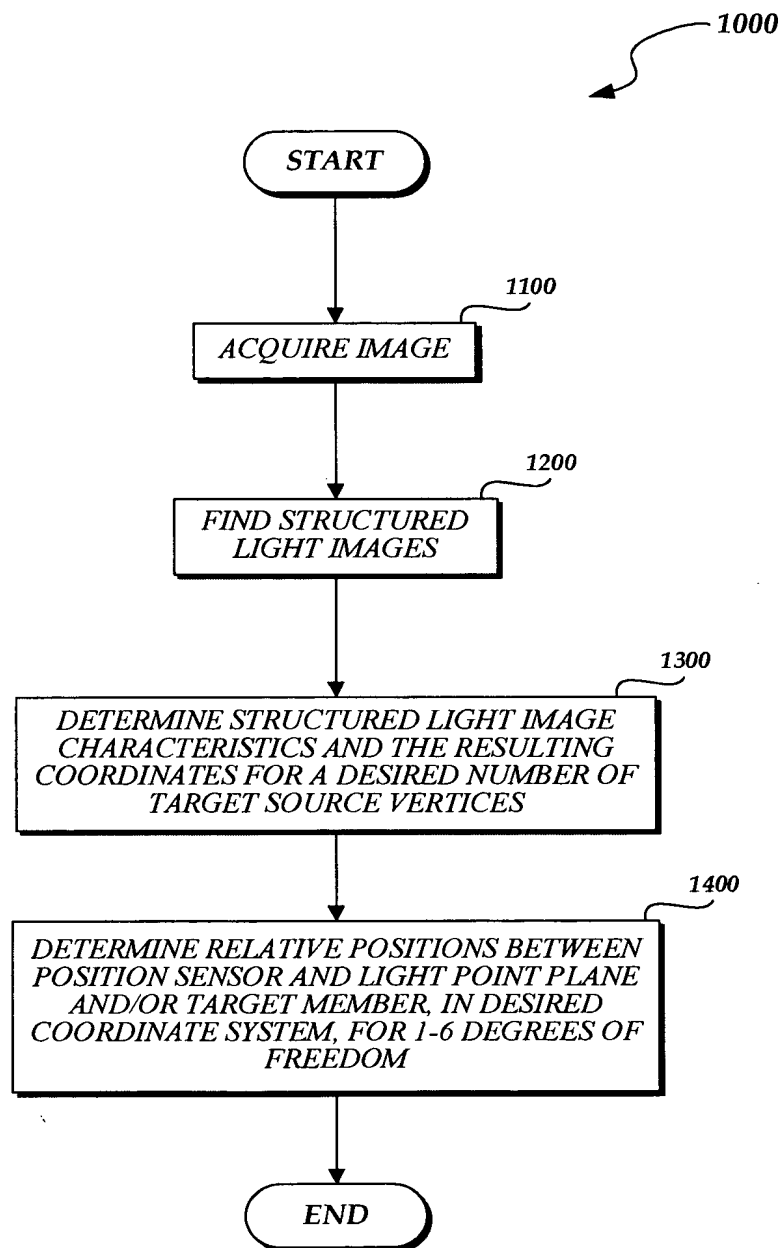
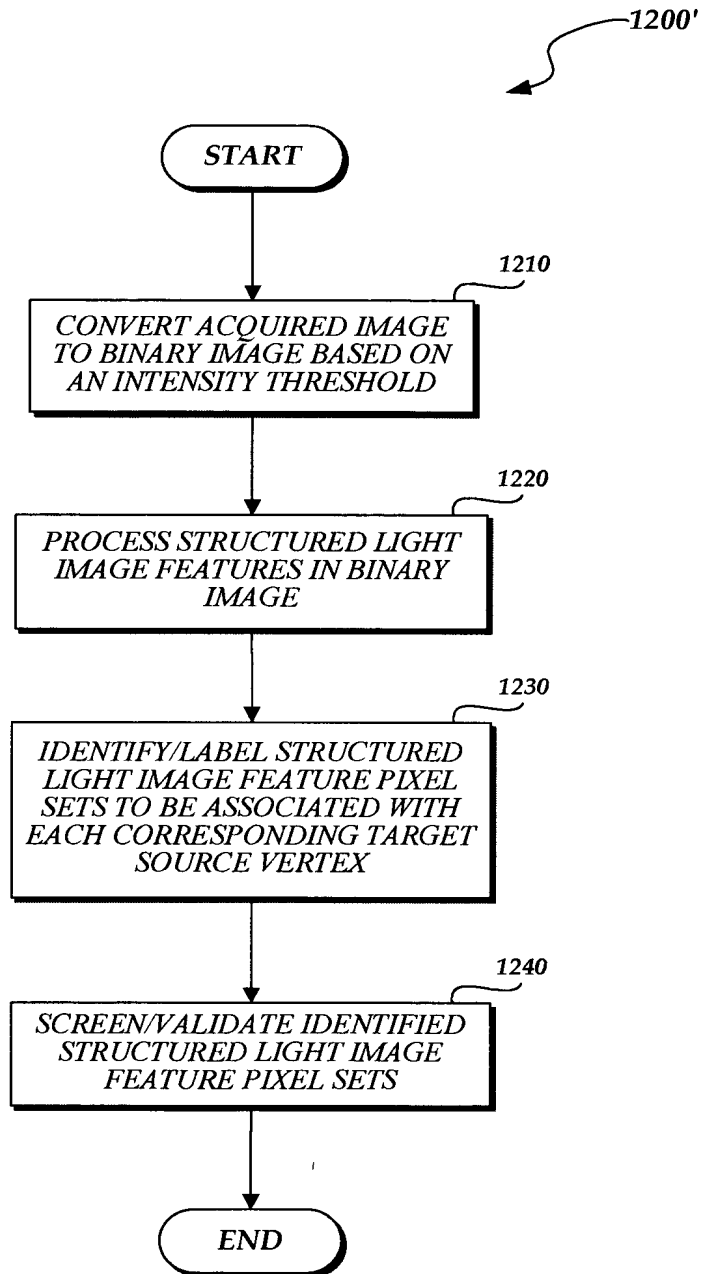


Fig.9



**Fig.10**



**Fig.11**

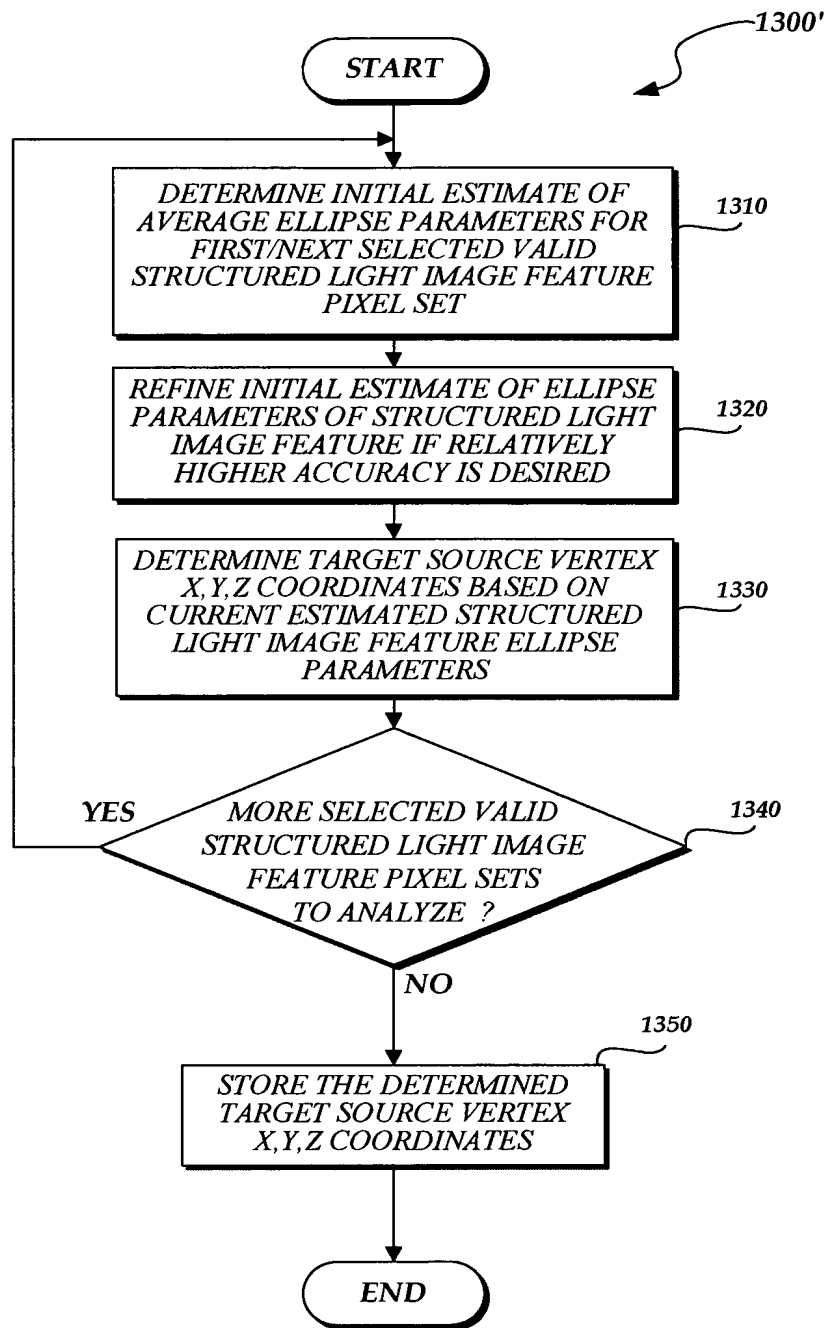


Fig.12

Inventors: J.D. Tobiasson et al.  
Docket No.: MEIP122171

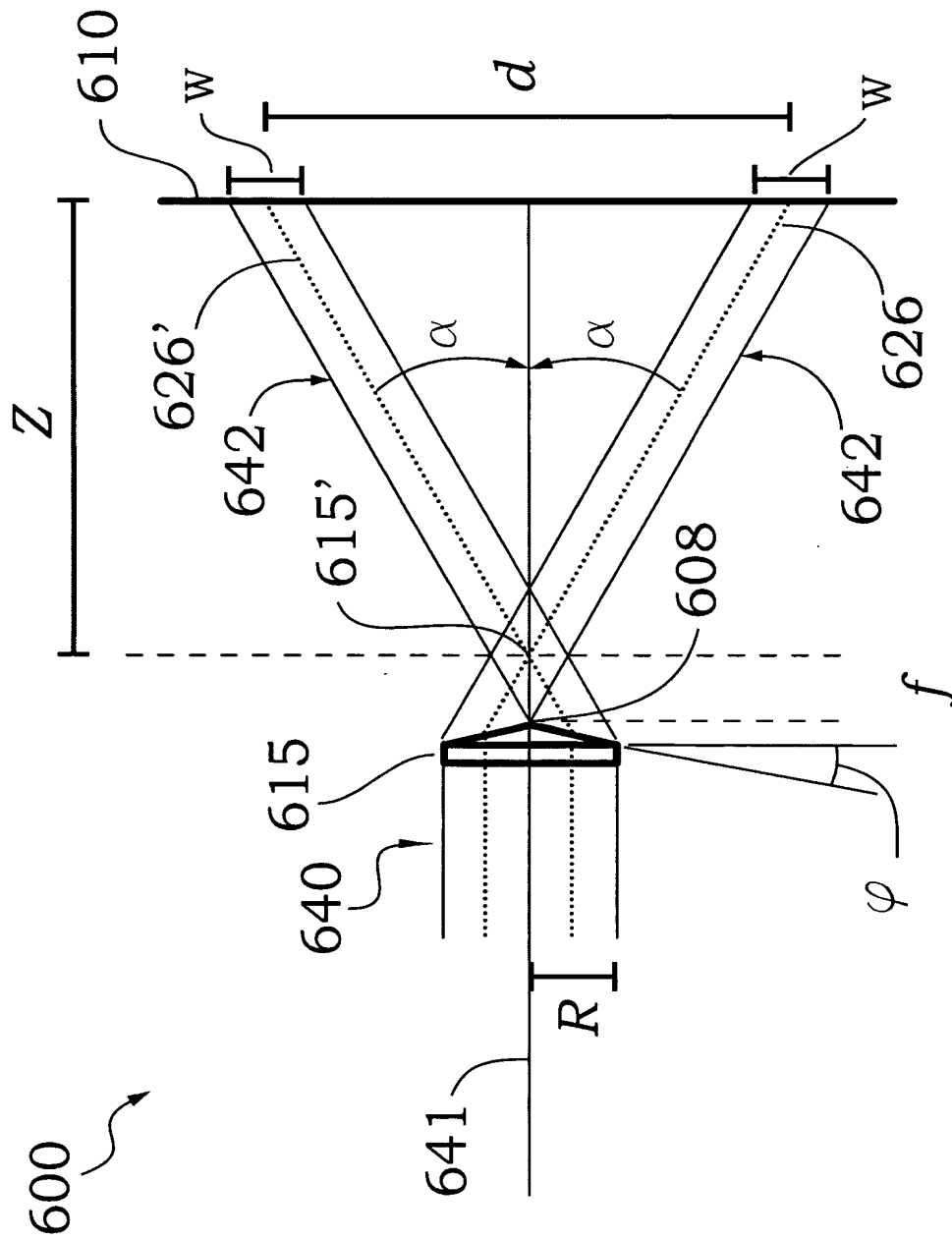
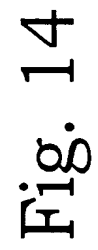


Fig. 13



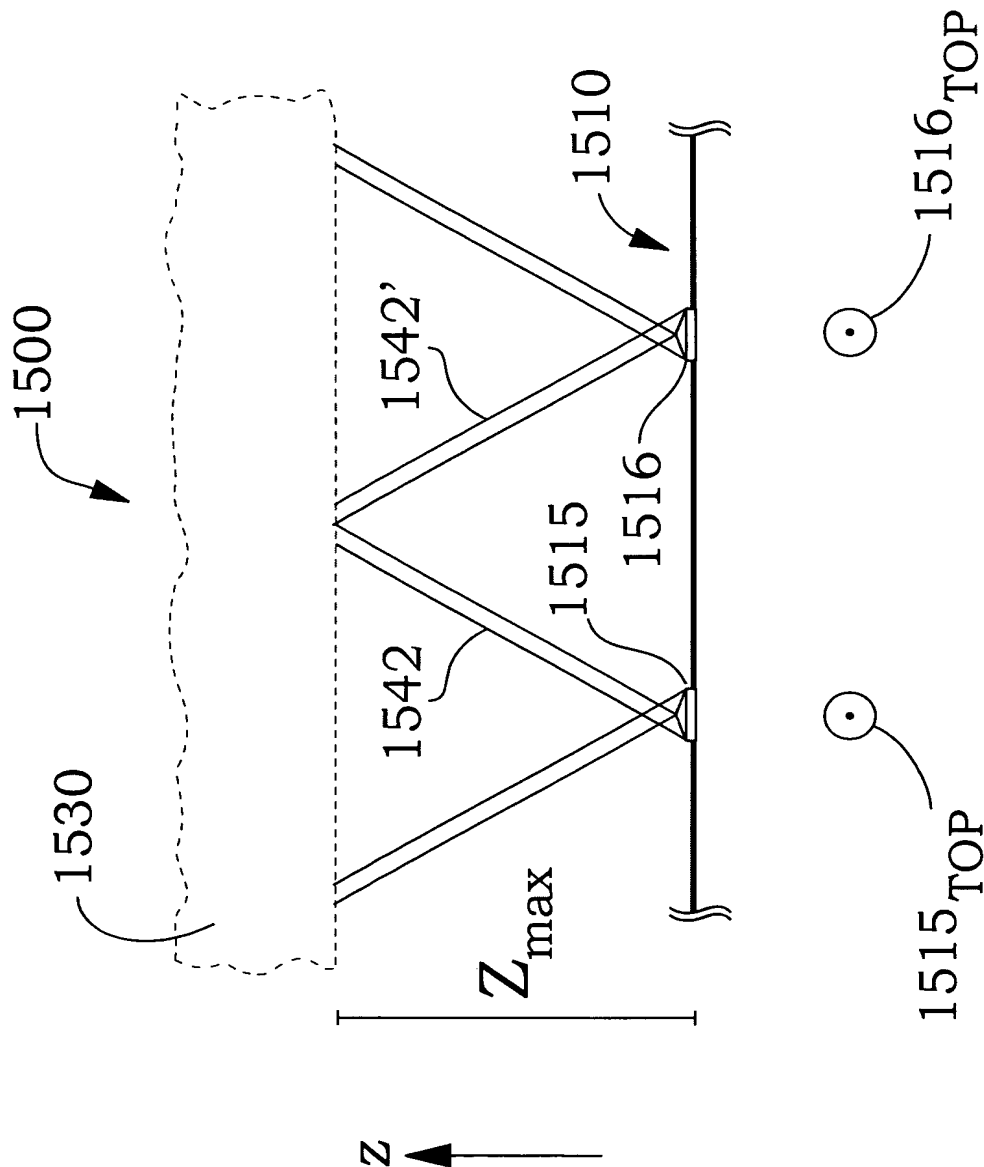


Fig. 15

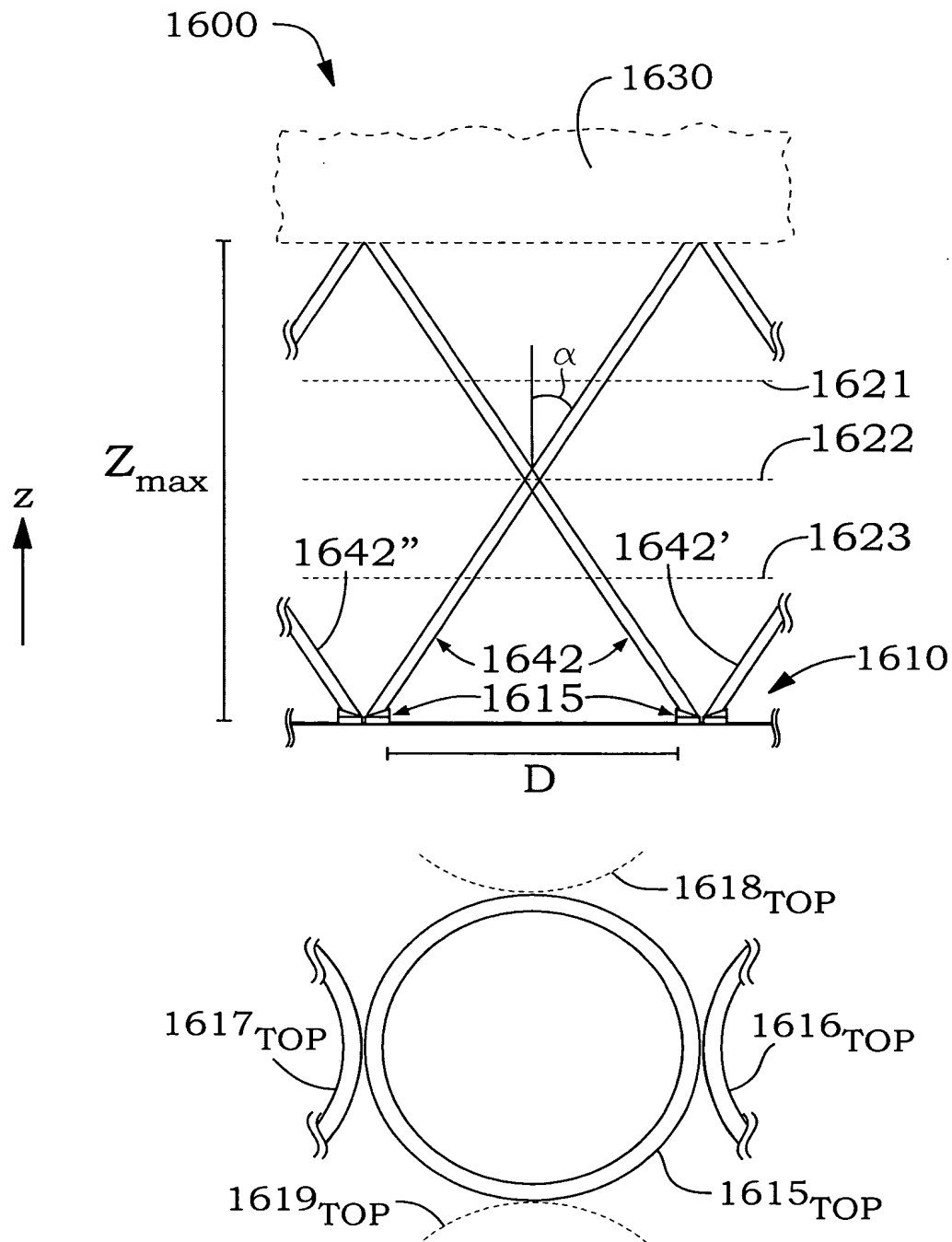


Fig. 16



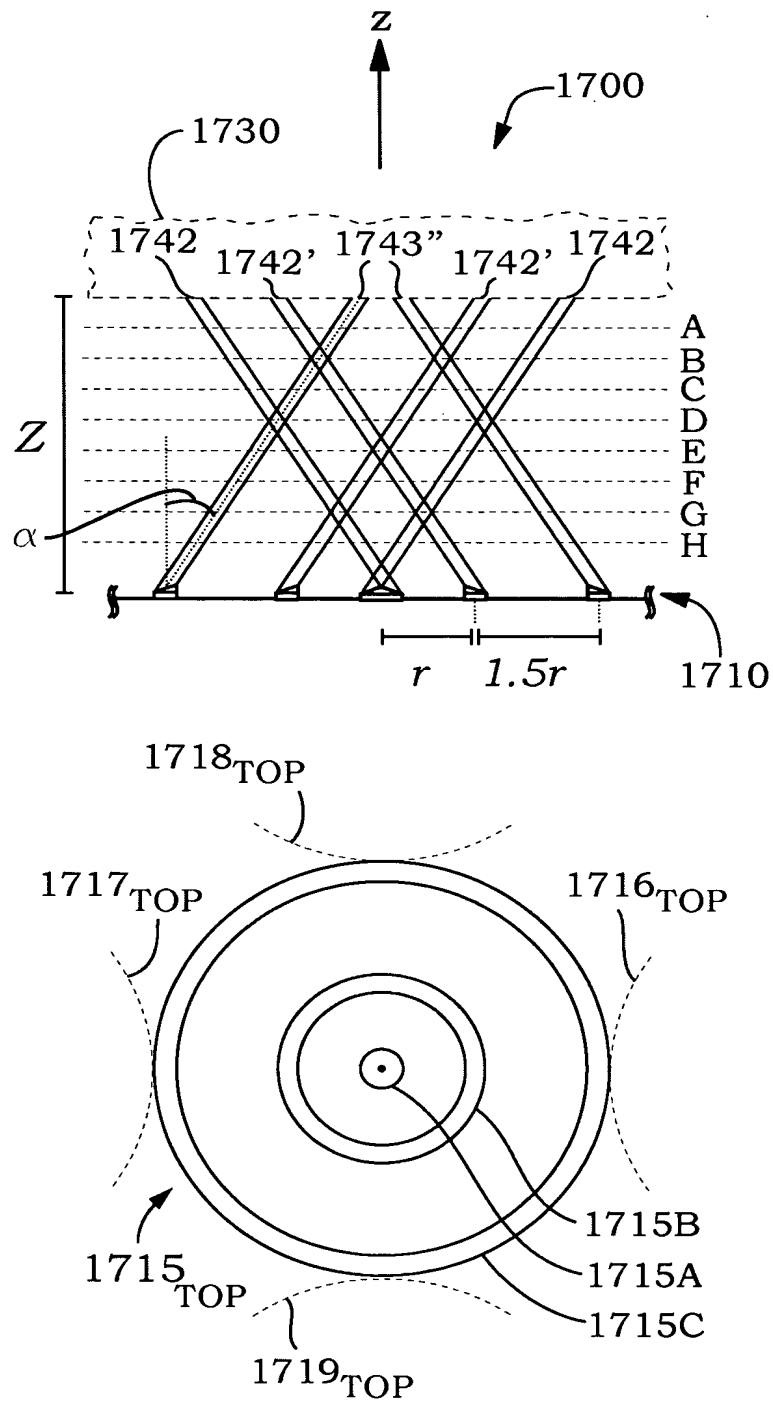


Fig. 17

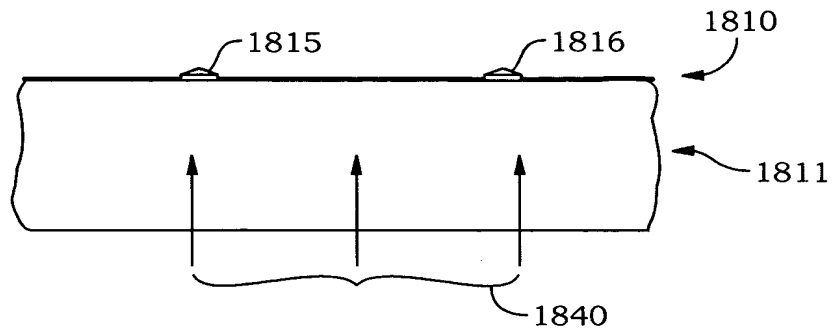


Fig. 18

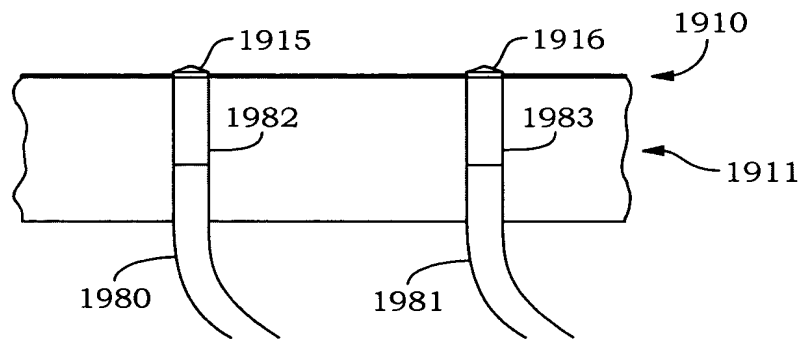


Fig. 19A

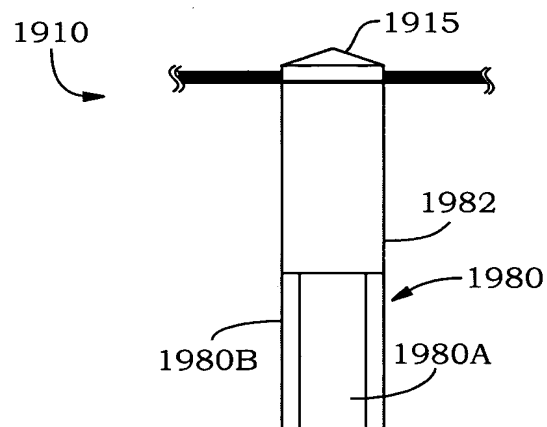


Fig. 19B

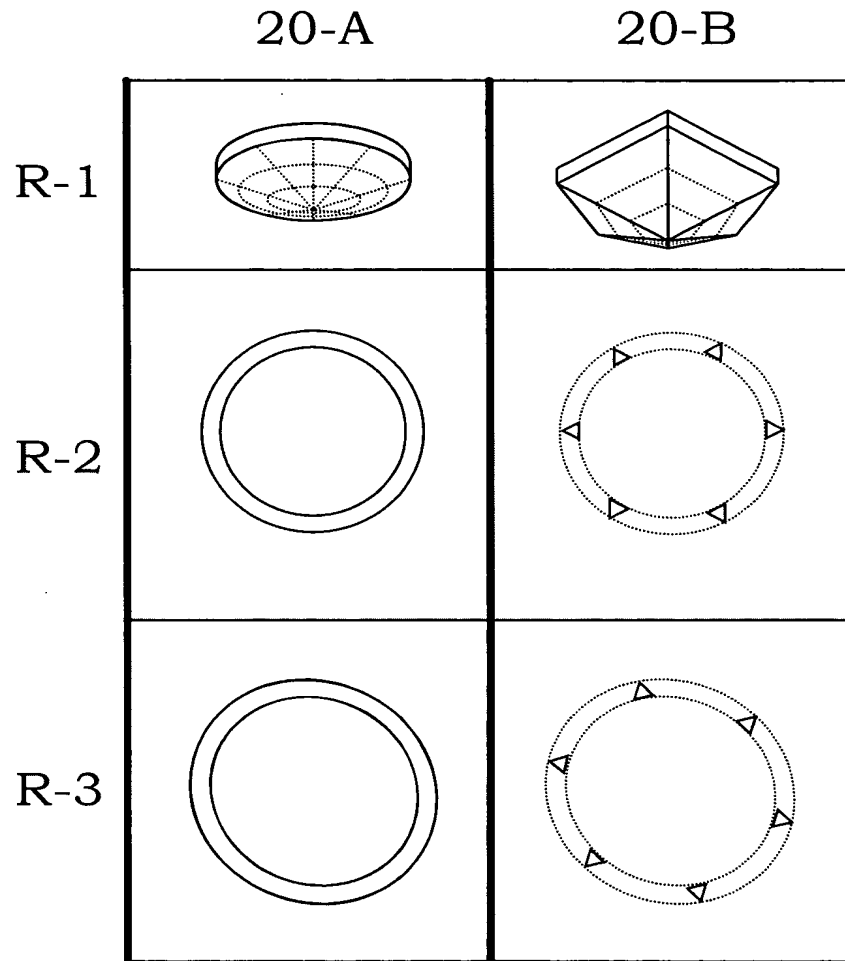


Fig. 20